

*М. С. Глабай, д-р хім. наук С. М. Лакиза,  
канд. хім. наук Я. С. Тищенко, М. М. Бричевський,  
д-р хім. наук О. В. Дуднік  
(Інститут проблем матеріалознавства ім. І. М. Францевича  
НАН України, м. Київ, Україна)*

## **Ізотермічний переріз діаграми стану системи $\text{Al}_2\text{O}_3\text{—ZrO}_2\text{—NiO}$ при 1550 °С**

### **Вступ**

Матеріали в системі  $\text{Al}_2\text{O}_3\text{—ZrO}_2\text{—NiO}$  перспективні для створення керамічних паливних комірок [1]. Керамічні паливні комірки (КПК) — одні з найперспективніших енергогенеруючих пристроїв завдяки своїй високій ефективності, екологічності та можливості використання різних видів палива. Необхідність застосування дорогіших металів як каталізаторів для КПК повністю відсутня, завдячуючи доволі високій операційній температурі 500—1000 °С, яка забезпечує високу ефективність перетворення хімічної енергії в електричну [2; 3; 4; 5].

Для виготовлення аноду та електроліту для КПК основними матеріалами є сполуки  $\text{ZrO}_2$  та  $\text{NiO}$ . Додатки  $\alpha\text{-Al}_2\text{O}_3$  підвищують механічні властивості матеріалів на основі  $\text{ZrO}_2$ . Створення відповідної структури поруватого аноду і щільного електроліту залежить від властивостей вихідних порошків. Фазовий склад матеріалів в умовах експлуатації визначається відповідними діаграмами стану на основі вихідних оксидів [6].

Дослідження фазових рівноваг у системі  $\text{Al}_2\text{O}_3\text{—ZrO}_2\text{—NiO}$  необхідне для коригування вихідного хімічного складу електроліту та аноду завдяки можливій частковій стабілізації діоксиду цирконію оксидом нікелю впродовж виготовлення та експлуатації КПК. Це є факторами покращення іонної провідності електроліту та збільшення потужності КПК.

Дані літератури з подвійних обмежуючих та системи  $\text{Al}_2\text{O}_3\text{—ZrO}_2\text{—NiO}$  досить обмежені [7; 8; 9; 10]. При аналізі діаграм стану обмежуючих подвійних систем встановлено, що найнижчою температурою появи рідини в цих системах є приблизно 1700 °С у системі  $\text{ZrO}_2\text{—NiO}$ . Тому температурою ізотермічного перерізу діаграми стану системи  $\text{Al}_2\text{O}_3\text{—ZrO}_2\text{—NiO}$  було обрано 1550 °С. На більш високі температури ізотермічних перерізів

накладаються інструментальні обмеження. Використання більш низьких температур недоцільне, оскільки температура спікання композитів цієї системи сягає 1400—1500 °С.

Мета роботи — побудувати ізотермічний переріз діаграми стану системи  $\text{Al}_2\text{O}_3\text{—ZrO}_2\text{—NiO}$  за 1550 °С.

### Експериментальна частина

Вихідними речовинами для виготовлення зразків обрано нітрат цирконію ( $\text{ZrO}(\text{NO}_3)_2 \cdot 2\text{H}_2\text{O}$ ) марки Ч (Донецький завод хімреактивів) та порошок NiO марки ХЧ (Свердловський завод хімреактивів).

Зразки одержано хімічним методом: необхідні кількості вихідних речовин розчиняли у воді з додаванням декількох крапель концентрованої азотної кислоти, осаджували аміачною водою, висушували та відпалювали у повітрі 2 год за 800 °С. З одержаних порошків пресували таблетки діаметром і висотою 5 мм. Для побудови ізотермічного перерізу зразки відпалили у повітрі за 1550 °С 80 год. Використовували піч Nabertherm GmbH ЛНТ 08/17 (Німеччина).

Фазовий склад зразків досліджували методом рентгенофазового аналізу (РФА) (ДРОН-1.5 ( $\text{CuK}_\alpha$ -випромінювання, Ni-фільтр), швидкість сканування складала  $\frac{1}{4}$  — 4 град/хв в інтервалі кутів  $2\theta$  від 15 до 70°. Інтенсивність ліній оцінено візуально за десятибальною шкалою або в процентах за відносною висотою піків на дифрактограмі. Для розшифровки рентгенограм використано картки X-RayPowderDiffractionFile.

### Результати та їх обговорення

Рентгенофазовий аналіз зразків проведено після їх охолодження. Отримані дані наведено у таблиці та подано на рис. 1.

*Таблиця*

**Фазовий склад зразків системи  $\text{Al}_2\text{O}_3\text{—ZrO}_2\text{—NiO}$ , за даними РФА після відпаду за 1150 °С**

Номер зразка	Склад, % (мол.)			Фазовий склад після відпаду за 1550 °С
	$\text{Al}_2\text{O}_3$	$\text{ZrO}_2$	NiO	
1	70	20	10	M-ZrO <sub>2</sub> , T-ZrO <sub>2</sub> , α-Al <sub>2</sub> O <sub>3</sub> , NiAl <sub>2</sub> O <sub>4</sub>
3	20	20	60	NiO, M-ZrO <sub>2</sub> , NiAl <sub>2</sub> O <sub>4</sub>
11	42	30	28	M-ZrO <sub>2</sub> , NiAl <sub>2</sub> O <sub>4</sub>
14	30	40	30	M-ZrO <sub>2</sub> , NiAl <sub>2</sub> O <sub>4</sub>

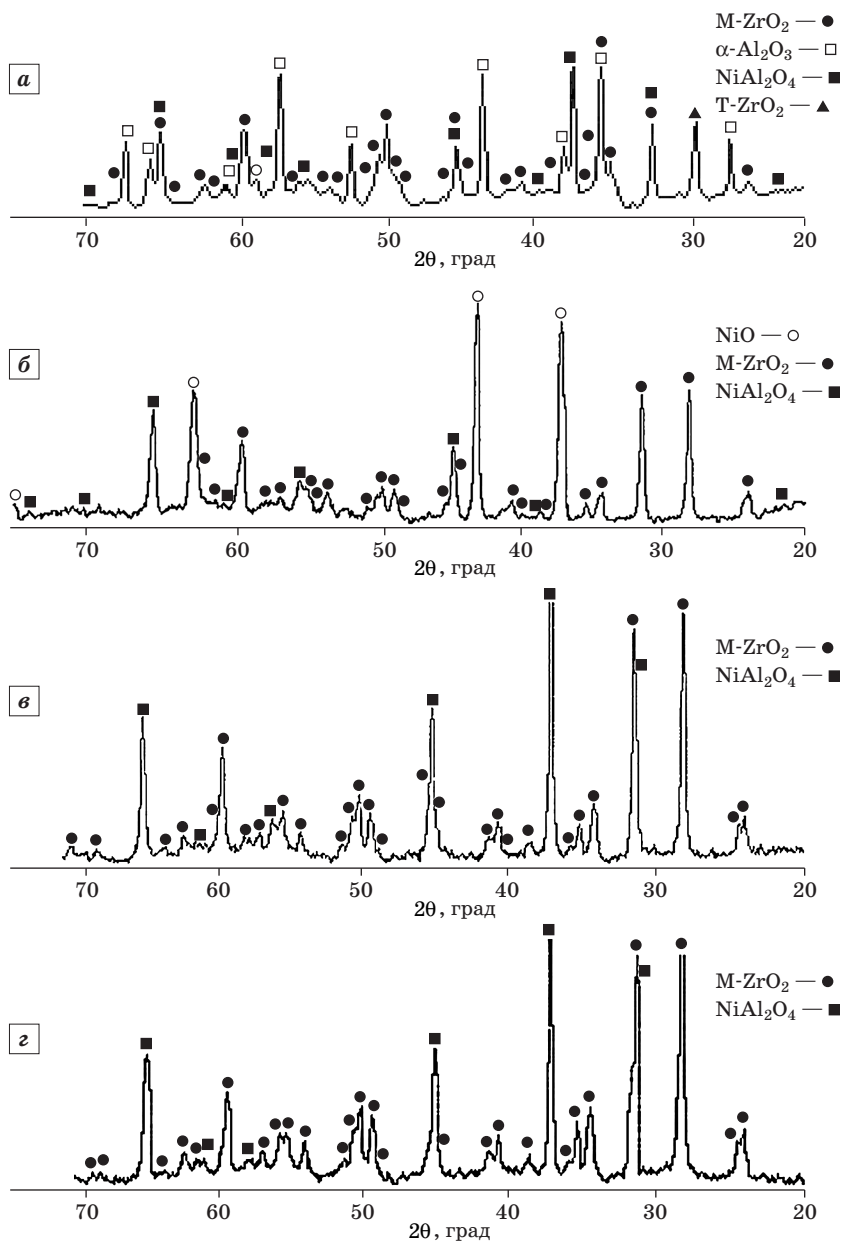


Рис. 1. Рентгенограми зразків, (склад наведено у таблиці):  
 а — зразок 1; б — зразок 3; в — зразок 11; г — зразок 14

У зразку 1, який вміщує 70 мол. %  $\alpha$ - $\text{Al}_2\text{O}_3$ , по співвідношенню інтенсивностей відповідних рефлексів на рентгенограмі встановлено, що зразок містить чотири фази:  $\text{M-ZrO}_2$ ,  $\text{T-ZrO}_2$ ,  $\alpha$ - $\text{Al}_2\text{O}_3$  та  $\text{NiAl}_2\text{O}_4$  (NA) (табл., рис. 1, а). За температури перерізу фаза  $\text{ZrO}_2$  існує лише у вигляді фази  $\text{T-ZrO}_2$ , яка при охолодженні згідно з діаграмою стану системи  $\text{Al}_2\text{O}_3$ — $\text{ZrO}_2$  повинна перетворюватися у фазу  $\text{M-ZrO}_2$ . Але у зразку 1 частина фази  $\text{T-ZrO}_2$  зберігається і за кімнатної температури, що можна пояснити стискаючою дією у цьому зразку матриці фази  $\alpha$ - $\text{Al}_2\text{O}_3$  на частинки  $\text{T-ZrO}_2$ , яка запобігає фазовому перетворенню  $\text{T-ZrO}_2 \rightarrow \text{M-ZrO}_2$  у процесі охолодження.

Зразок 3 містить три фази:  $\text{NiO}$ ,  $\text{M-ZrO}_2$ ,  $\text{NiAl}_2\text{O}_4$  (рис. 1, б), а зразки 11 та 14 — двофазні:  $\text{M-ZrO}_2$ ,  $\text{NiAl}_2\text{O}_4$  (рис. 1, в, г). Присутність у зразках 3, 11 та 14 фази  $\text{M-ZrO}_2$  свідчить про відсутність стабілізації  $\text{T-ZrO}_2$  оксидом нікелю.

На основі отриманих даних побудовано ізотермічний переріз діаграми стану системи  $\text{Al}_2\text{O}_3$ — $\text{ZrO}_2$ — $\text{NiO}$  за  $1550^\circ\text{C}$  (рис. 2). У перерізі виявлено три області: одна двофазна (NA+T) та дві

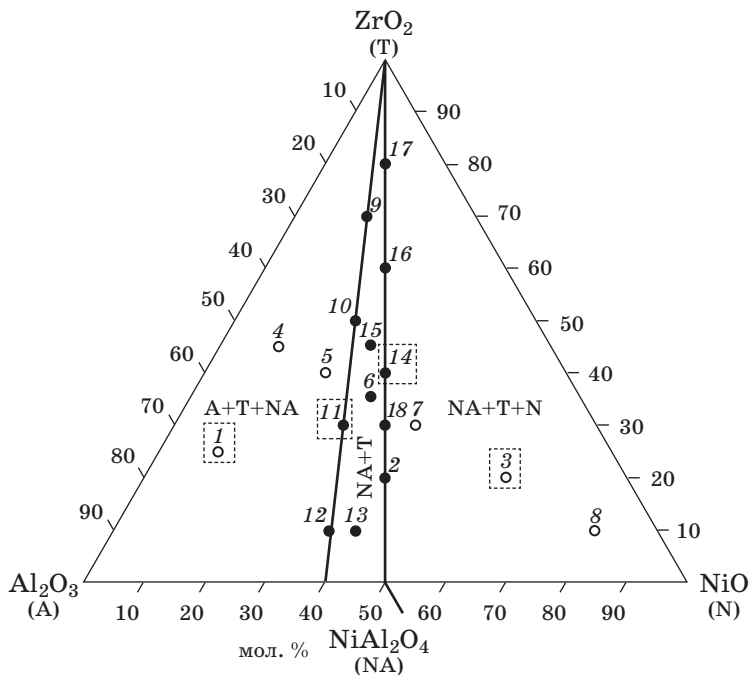


Рис. 2. Ізотермічний переріз діаграми стану системи  $\text{Al}_2\text{O}_3$ — $\text{ZrO}_2$ — $\text{NiO}$  за  $1550^\circ\text{C}$ :

● — двофазні зразки, ○ — трифазні зразки

трифазні (A+T+NA та NA+T+N). Ширина двофазної області спирається на ширину області гомогенності фази NA за 1550 °C у подвійній системі Al<sub>2</sub>O<sub>3</sub>—NiO.

Система Al<sub>2</sub>O<sub>3</sub>—ZrO<sub>2</sub>—NiO триангулюється перерізом NA—T на два вторинних трикутники, в яких очікується знаходження трифазних евтектик з фазовими складами A+T+NA та NA+T+N. На квазібінарному перерізі NA—T-ZrO<sub>2</sub> прогнозується утворення двофазної евтектики, яка є одночасно перевальною (сідловинною) точкою на ліквідусі системи Al<sub>2</sub>O<sub>3</sub>—ZrO<sub>2</sub>—NiO.

## Висновки

Аналіз будови ізотермічного перерізу діаграми стану системи Al<sub>2</sub>O<sub>3</sub>—ZrO<sub>2</sub>—NiO за 1550 °C дозволяє встановити деякі закономірності. Нових фаз та значних областей розчинності в потрійній системі не виявлено. Оксид нікелю не стабілізує фазу T-ZrO<sub>2</sub>. За 1550 °C система триангулюється на дві трифазні Al<sub>2</sub>O<sub>3</sub>+T-ZrO<sub>2</sub>+NiAl<sub>2</sub>O<sub>4</sub> та NiAl<sub>2</sub>O<sub>4</sub>+T-ZrO<sub>2</sub>+NiO області, розділені широкою двофазною областю T-ZrO<sub>2</sub>+NiAl<sub>2</sub>O<sub>4</sub>. Одержані результати підтверджують дані [7].

## Бібліографічний список

1. Yu J. H. Microstructural effects on the electrical and mechanical properties of Ni—YSZ cermet for SOFC anode / J. H. Yu, G. W. Park, S. Lee // *J. Power Sources*. — 2007. — Vol. 163, iss. 2. — P. 926—932.
2. Cowin I. Recent progress in the development of anode materials for solid oxide fuel cells / P. I. Cowin, C. Petit, R. Lan, J. Irvine and T. Shanwen // *Adv. Energy Mater.* — 2011. — Vol. 1, No 3. — P. 314—332.
3. Radovic M. Mechanical properties of tape cast nickel-based anode materials for solid oxide fuel cells before and after reduction in hydrogen / M. Radovic, E. Lara-Curzio // *Acta Mater.* — 2004. — Vol. 52, No 20. — P. 5747—5756.
4. Gorte R. J. SOFC anodes for the direct electrochemical oxidation of hydrocarbons / R. J. Gorte, J. M. Vohs // *J. Catal.* — 2003. — Vol. 216, iss. 1—2. — P. 477—486.
5. Advanced anodes for high temperature fuel cells / A. Atkinson, S. Barnett, R. J. Gorte [et al.] // *Nat. Mater.* — 2004. — Vol. 3, No 1. — P. 17—27.
6. Microstructural design of ZrO<sub>2</sub>—Y<sub>2</sub>O<sub>3</sub>—CeO<sub>2</sub>—Al<sub>2</sub>O<sub>3</sub> materials / E. V. Dudnik, A. V. Shevchenko, A. K. Ruban [et al.] // *Powder Metall. Met. Ceram.* — 2011. — Vol. 49, iss. 9—10. — P. 528—536.
7. Chang W. S. Phase equilibria of zirconia-dispersed ceramic in NiO—Al<sub>2</sub>O<sub>3</sub>—ZrO<sub>2</sub> system / W. S. Chang, S. Chen, P. Shen // *Mater. Sci. Eng., A*. — 1991. — Vol. 145. — P. 113—118.
8. Study on NiO excess in preparing NiAl<sub>2</sub>O<sub>4</sub> / Y. S. Han, J. B. Li, X. S. Ning [et al.] // *Mater. Sci. Eng., A*. — 2004. — Vol. 369, iss. 1—2. — P. 241—244.
9. White J. The Enhanced Stabilization of the Cubic Phase in Yttria-Stabilized Zirconia with the Addition of Nickel Oxide / J. White, I. E. Reimanis // *J. Am. Ceram. Soc.* — 2011. — Vol. 94, No 7. — P. 2030—2036.
10. Li C. Y. Reaction between NiO and Al<sub>2</sub>O<sub>3</sub> in NiO /  $\gamma$ -Al<sub>2</sub>O<sub>3</sub> catalysts probed by positronium atom / C. Y. Li, H. J. Zhang, Z. Q. Chen // *Appl. Surf. Sci.* — 2013. — Vol. 266. — P. 17—21.

Рецензент канд. техн. наук Шулик І. Г.